

要旨 過圧密粘性土の一般応力条件下での応力～ひずみ関係を知る手始めとして、練り返し再圧密の過圧密粘土試料を用いた三軸圧縮および伸張試験結果を示した。また、これらの試験結果のピーク時の応力比に着目して、強張されたvon Misesの破壊基準と松岡・中井<sup>1)</sup>による破壊基準とその両端にもつ中间空間モビライズド面の概念を新しく導入し、試験結果の解析を行なった。

平均主応力一定試験結果 試験に用いた試料、供試体作成および試験の方法は文献<sup>3)</sup>と同じで、周面排水条件で行なっている。図中には、実線

および破線でそれぞれMohr-Coulomb(三軸圧縮と伸張に限れば松岡ら<sup>1)</sup>と同じ)、Ladeら<sup>2)</sup>による破壊基準を用いて、三軸圧縮のピーク時および残留時にに対応した三軸伸張での $\sigma/\sigma_0$ を示している。残留時の試験結果は(特に伸張での)供試体の不均一変形のため精度は十分でないので、ここではピーク時の強度を中心で検討する。図より中间主応力の影響は不明であるが、この試料 $\sigma_0$ のピーク強度は、過圧密比の増大とともにMohr-Coulombまたは松岡

ら<sup>1)</sup>の基準から強張されたvon Misesの基準に近づいていくとみなすことができる。

中间空間モビライズド面と過圧密粘土の応力～ひずみ関係 図-2(a)は相異なる3主応力のモールの応力円と $(-\sigma_0, 0)$ からのこれらへの接線を示す。これらの各接点での応力の作用面は(b)図の主応力空間では、各 $\sigma_i$ 軸( $i = 1, 2, 3$ )を $\sqrt{\sigma_i + \sigma_0}$ で切る直線で示される。ここで、これら3直線で構成される平面を中间空間モビライズド面と称す。ここでは軸対称条件のみを考えるので応力とひずみの主軸が一致するとして、この面上でのせん断、垂直応力比 $\tau/\sigma_0$ とせん断および垂直ひずみ $\gamma/2$ 、 $\epsilon_N$ は松岡ら<sup>1)</sup>と同様にして式(1)～(3)となる。ここに、 $I_1, I_2, I_3$ はそれぞれ応力のオ1、オ2、オ3次不変量である。式(1)～(3)は、 $\sigma_0 = 0$ とすれば松岡ら<sup>1)</sup>のものと、 $\sigma_0 \rightarrow \infty$ とすれば、正八面体面上のそれらに一致する。したがって、この面上での $\tau/\sigma_0 = \text{一定}$ の破壊

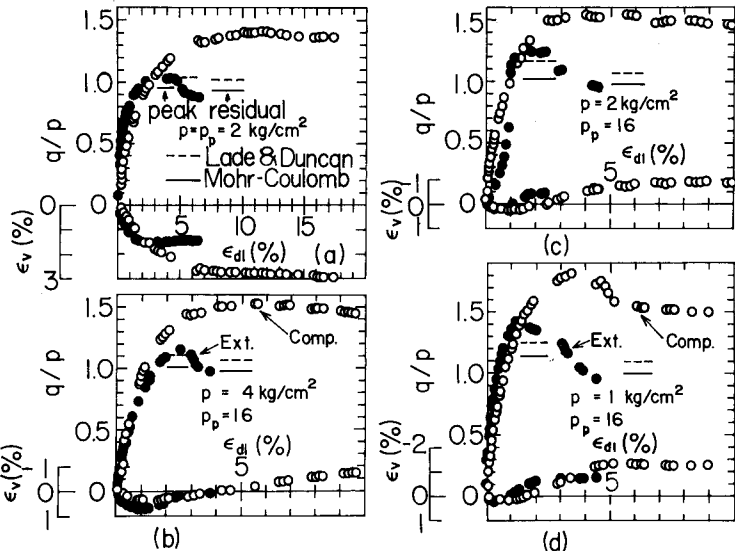
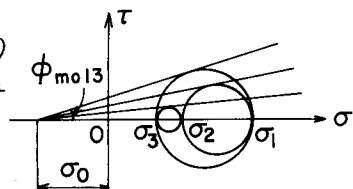


図-1 正規圧密および過圧密試料の平均主応力一定試験結果



(a) Mohr's stress diagram

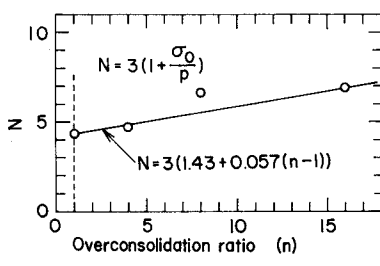
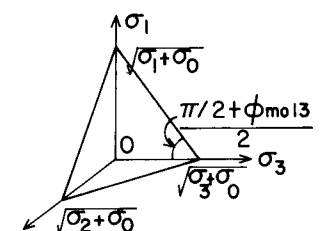


図-3  $N$ ～O.C.R. 関係



(b) Intermediate spatial mobilized plane (ISMMP)

図-2 中間空間モビライズド面

基準は、 $\sigma_0$  を  $[0, \infty)$  の範囲で取ることにより、 $\frac{\tau}{\sigma_N} = \frac{\sqrt{(\sigma_3 + \sigma_0)^2 + (\sigma_2 + \sigma_0)^2 + (\sigma_1 + \sigma_0)^2}}{3\sigma_0^2 + 2\sigma_0\sigma_2 + \sigma_0^2} \{ 2\sigma_0(\sigma_1^2 - 3\sigma_2^2) + \sigma_1\sigma_2 - 9\sigma_3^2 \}$  ..... (1)

松岡ら<sup>1)</sup>の基準から拡張された von Mises の基準までの間の状態を表現し得る。

$$\frac{\gamma}{2} = \frac{\sigma_3 + \sigma_0}{I_2 + 2\sigma_0 I_1 + 3\sigma_0^2} \sqrt{\frac{(\varepsilon_1 - \varepsilon_2)^2}{(\sigma_1 + \sigma_0)(\sigma_2 + \sigma_0)} + \frac{(\varepsilon_2 - \varepsilon_3)^2}{(\sigma_2 + \sigma_0)(\sigma_3 + \sigma_0)}} + \frac{(\varepsilon_3 - \varepsilon_1)^2}{(\sigma_3 + \sigma_0)(\sigma_1 + \sigma_0)}$$
 ..... (2)

つぎに、三軸圧縮と伸張条件の場合に限ると式(1)は式(4), (5)になる。ここに、 $\gamma = g/p$ ,  $N = 3(1 + \varepsilon_N) = \frac{(\sigma_2 + \sigma_0)(\sigma_3 + \sigma_0)\varepsilon_1 + (\sigma_3 + \sigma_0)(\sigma_1 + \sigma_0)\varepsilon_2 + (\sigma_1 + \sigma_0)(\sigma_2 + \sigma_0)\varepsilon_3}{I_2 + 2\sigma_0 I_1 + 3\sigma_0^2}$  ..... (3)

$\sigma_0/p$  である。また、同

じ  $\gamma/\sigma_N$  では  $\varepsilon_N$  および  $\gamma/2$  も同じになると仮定す

$$\text{Triaxial Compression : } \frac{\tau}{\sigma_N} = \frac{\eta \sqrt{2(N-\eta)(N+2\eta)}}{3N + 3\eta - 2\eta^2}$$
 ..... (4)

ると三軸圧縮(サフィックス C)と伸張(サフィックス E)での偏心ひずみ  $\varepsilon_{d1}$ 、体積ひずみ  $\varepsilon_v$  の関係は式(6)

$$\frac{\varepsilon_{d1C}}{\varepsilon_{d1E}} = \frac{N + \eta_C}{\sqrt{(N+2\eta_C)(N-\eta_C)}} \frac{\sqrt{(N-2\eta_E)(N+\eta_E)}}{N - \eta_E}$$
 ..... (6)

、(7)となる。図-3 は、

式(4), (5)より決定した  $N = 3 \{ N_0 + N_s (n - 1) \}$  と過圧密比の関係である。

$$\varepsilon_{vE} = \varepsilon_{vC} - \frac{3}{N + \eta_C} \{ \eta_C - \frac{\eta_E \sqrt{(N+2\eta_C)(N-\eta_C)}}{\sqrt{(N-2\eta_E)(N+\eta_E)}} \} \varepsilon_{d1C}$$
 ..... (7)

この関係を式(8)とする。

$$N = 3 \{ N_0 + N_s (n - 1) \}$$
 ..... (8)

図-4において、同じ過圧密比での両試験のピーク点を連ねる直線(破線)は  $(-\sigma_b, 0)$  を通る。また、同図(b)には、両試験の破壊線(実線)を示してある。

**解析結果** 図-5 は式(4)～(8)の関係と、先に示した応力～ひずみ関係<sup>3)</sup>(定数値も同じ)による計算結果である。図-6 は応力経路の計算結果である。両試験の破壊線は同一の点  $(-\sigma_b, 0)$  であり、先行圧密圧力  $p_p$  による見かけ上の粒子間引張り応力  $\sigma_b$  を示している。

謝辞：脚指導頂いている京都大学防災研究所 柴田 徹教授、実験で協力を得た同 清水博樹技官に深謝の意を表します。

引用文献 1) 松岡・中井(1974)：土木学会論文報告集 pp. 59～70 2) Lade and Duncan (1975) : ASCE, GT 10, pp. 1037～1053 3) 大槻(1977)：土木学会関西支部年次学術講演概要, pp. III-1-1～4.

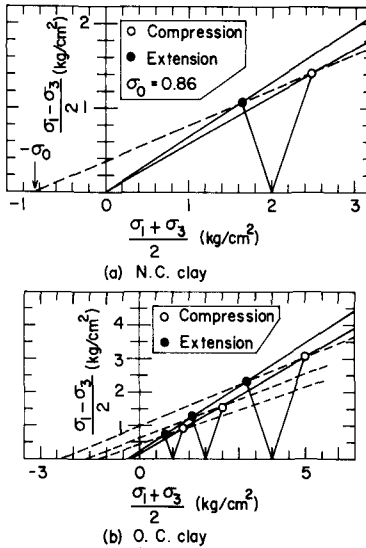


図-4 応力経路とピーク点(試験)

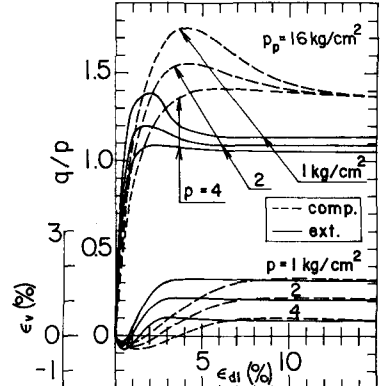


図-5 応力～ひずみの計算結果

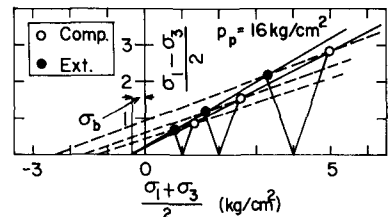


図-6 応力経路とピーク点(計算)